



Boorplan Horizontaal Gestuurde Boring B01 t.b.v. aanleg mantelbuis onder de Rijksweg N271 te Milsbeek

Opdrachtgever:



Project : Horizontaal gestuurde boring te Milsbeek

Projectnummer : 19/20432

Locatie : Onder de Rijksweg N271 te Milsbeek

Opgemaakt : 05-06-2019

Samenstelling : Lars Sijstermans

Kenmerk : 19/02462 – Projectnummer : 19/20432

Opgemaakt door:	Gecontroleerd:	Paraaf:	Datum:	Status document:	Versie
L. Sijstermans	D. Kaners		05-06	Ter Goedkeuring	01



Inhoudsopgave

GEGEVENS BETREFFENDE BORING	3
INLEIDING.....	4
1 PROJECTOMSCHRIJVING.....	5
1.1 LOCATIE.....	5
1.2 OMVANG EN INDELING WERKTERREIN	5
1.3 OVERZICHT BORING	5
1.4 GRONDONDERZOEK.....	5
2 WERKOMSCHRIJVING	7
2.1 ALGEMENE WERKOMSCHRIJVING	7
2.2 TE DOORLOPEN STAPPEN VÓÓR DE UITVOERING.....	7
2.3 TE DOORLOPEN STAPPEN TIJDENS DE UITVOERING	7
2.4 TE DOORLOPEN STAPPEN NA DE UITVOERING	8
2.5 PERSONEELSBEZETTING BORING	8
2.6 IN TE ZETTEN BOORMATERIEEL	8
2.7 KWALITEIT EN KEURING VAN DE TOEGEPASTE MATERIALEN.....	9
2.8 UITVOERINGSTECHNISCHE RISICO'S.....	9
2.9 REGISTRATIE BOORGEGEVENS	10
2.10 TOELAATBARE AFWIJINGEN BORING	10
2.11 BESTAANDE KABELS EN LEIDINGEN	10
2.12 PLANNING	11
3 STERKTE- EN BOORspoelDRUKBEREKENINGEN	12
3.1 DE THEORETISCHE TREKKRACHT	12
3.2 DE TOELAATBARE VLOEISTOFDRUK.....	12
3.3 DE TOELAATBARE TREKSTERKTE	12

Bijlagen

1. Tekeningen
2. Luchtfoto's boorlocaties
3. Grondonderzoek
4. Sterkte- en boorspoeldrukberoeeningen
5. Certificaat bentoniet
6. Logboek (registratieformulier boorgegevens)
7. Afwijkingen Richtlijn Boortechnieken DWW 2004
8. Drill Control Rapportage ontwerp boring



Gegevens betreffende boring

Opdrachtgever : BAM Infra Energie & Water Zuid BV

Hoofdaannemer : BAM Infra Energie & Water Zuid BV

Gemeente : 5215 MG 's-Hertogenbosch

Besteknummer : -

Exacte locatie : Onder de Rijksweg N271 te Milsbeek

Aanlegmethode : Horizontaal gestuurd boren (HDD)

Projectnummer : 19/20432

Tekeningnummer : 19_20432-01-P-B01

KLIC-nummer : 19O046198

Planning uitvoering : N.t.b. (na goedkeuring vergunningaanvraag)

Aantal boringen : 2 stuks

Lengte boring : ca. 38.3 m¹.

Materiaal/diameter buis : HDPE buis met 1x Ø 110 mm PE100 SDR 17

Ruimer(s) : Conisch/Flycutter Ø 160 mm.



Inleiding

Voor de aanleg van ondergrondse netwerken bestaande uit kabels en leidingen worden horizontaal gestuurde boringen uitgevoerd. Deze techniek wordt gebruikt wanneer bovengrondse aanleg niet haalbaar of rendabel is. Met deze techniek is het mogelijk om ondergrondse netwerken aan te leggen en daarbij watergangen, wegen en andere infrastructurele objecten te kruisen. Tevens beperkt men de hinder bovengronds tot een minimum.

Hieronder een korte algemene beschrijving van een horizontaal gestuurde boring zoals deze worden uitgevoerd door Holland Drilling B.V.

De uitvoering van een horizontaal gestuurde boring is opgebouwd uit drie fasen en wordt altijd vanaf het maaiveld uitgevoerd.

Fase 1 is het maken van een pilotboring volgens het ontworpen traject. Deze boring wordt uitgevoerd vanaf het maaiveld en start in een vooraf gegraven boorgat. De pilotboring is onder te verdelen in 5 trajecten, het neergaande rechte traject, de neergaande bocht gevolgd door een rechtstand, een opgaande bocht en als laatste een rechtstand tot aan het uittredepunt. Tijdens de pilotboring wordt de boorkop gevolgd met een meetsysteem. Dit meetsysteem kan de positie bepalen van de boorkop en zijn positie doorgeven aan de boormeester. Deze kan aan de hand van deze gegevens de positie aanpassen van de boorkop. Tevens worden de boorspoeldrukken tijdens de 3 fasen geregistreerd.

Fase 2 is het ruimen van de boorgang. Bij het uittredepunt wordt aan de boorstang een ruimer bevestigd die het boorgat op de gewenste grootte brengt. Het ruimen kan enkele malen herhaald worden indien dit nodig is. De keuze van de soort ruimer is sterk afhankelijk van de plaatselijke grondslag.

Fase 3 is het intrekken van de productleiding. Achter de ruimer wordt een swivel bevestigd met daaraan de trekkop en daar weer aan de in te trekken leidingen. De swivel zorgt ervoor dat de productleiding niet meedraait met de boorstang tijdens het intrekken. Als de productleiding is ingetrokken dan is de horizontaal gestuurde boring voltooid.

Voor het betreffende project zal na eventuele gunning en voorafgaand aan de uitvoering van de horizontaal gestuurde boring een op het project toegesneden omschrijving inclusief de benodigde sterkte- en muddrubberekeningen, boorplan worden opgesteld.

Bij het rapport wordt een tekening toegevoegd waarmee de horizontaal gestuurde boring ruimtelijk inzichtelijk worden gemaakt. Het rapport met de tekeningen verschaft de vergunning verlenende instanties, opdrachtgever en boormeesters de benodigde gegevens van de horizontaal gestuurde boring. Na goedkeuring van dit rapport wordt een begin gemaakt met het daadwerkelijk uitvoeren van een horizontaal gestuurd boring.



1 Projectomschrijving

BAM Infra Energie & Water Zuid BV heeft Holland Drilling B.V. opdracht gegeven voor de engineering van een gestuurde boring ten behoeve van het aanleggen van een mantelbuis onder te . Deze boring zal worden uitgevoerd door middel van de Horizontal Directional Drilling (HDD) methode en zal worden uitgevoerd door Holland Drilling B.V.

Ten grondslag aan deze projectomschrijving liggen:

- Tekening/ondergrond GBK.
- Tekening/schets BAM.
- Geotechnisch onderzoek.

Het doel van dit boorplan is om inzicht te geven in de werkmethode / methode van aanbrengen en om aan te geven hoe de te bereiken kwaliteit wordt gerealiseerd.

Tijdens de uitvoering van de boringen zullen alle vergunningen op het werk aanwezig zijn. Tevens worden de betreffende instanties tijdig ingelicht over het tijdstip van uitvoering.

1.1 Locatie

De boring bevindt zich onder het te , zoals weergegeven op bijgevoegde tekening(en). Tevens is de dwarsprofiel van de boring terug te vinden in bijlage 1 van dit boorplan.

1.2 Omvang en indeling werkterrein

9 T

Voor het realiseren van de boringen wordt van een midi-rig opstelling gebruik gemaakt. Ervaringsgewijs kan met een opstellocatie van 80 m² worden volstaan. De benodigde ruimte voor een midi-rig bedraagt bij het intrede punt circa 20 m². Binnen een straal van 30 meter moet er een opstellocatie van circa 50 m² zijn, voor de bijhorende werkplaats en mudset. Plaatsing van apparatuur aangepast aan de plaatselijke omstandigheden. Bij het uittredepunt kan worden volstaan met een ruimte van circa 20 m² excl. benodigde ruimte voor het uitleggen van de in te brengen leidingen. Zowel in- als uittredepunt dienen goed bereikbaar zijn (zwaar verkeer).

1.3 Overzicht boring

Hieronder een samenvatting van de uit te voeren boring met daarbij aangegeven het boringnummer, locatie, in te voeren materiaal en de lengte.

Tabel 1:

Boringnr.	Locatie omschrijving	Materiaal	Lengte
01	Rijksweg N271 Milsbeek	HDPE 1*Ø110mm PE100 SDR 17	38.3 m ¹

1.4 Grondonderzoek

Om tot een goed eindresultaat te komen zonder al te veel complicaties dient er inzicht te bestaan in de samenstelling en het verloop van de grondlagen en de geohydrologische omstandigheden. Ook een belangrijk aspect bij het boren van leidingen is het in kaart brengen van obstakels, want een onverwachte confrontatie daarmee tijdens de uitvoering kan leiden tot langdurige vertragingen en dus tot extra hoge kosten.

Het in kaart brengen van obstakels is voor dit boorplan gebeurd door het uitvoeren van een Klik melding.



- Horizontaal gestuurde boringen (HDD)
- Pilot gestuurde avegaarboringen
- Pipe bursting
- Persboringen
- Dämmer specialisme



De samenstelling en eigenschappen van een grondpakket kunnen over zeer korte afstanden variëren, daarom wordt geadviseerd om op een tracé dat langer is dan 40 m meerdere sonderingen en boringen te verrichten.

Aan de hand van de grondgegevens wordt de toe te passen boorspoeldrukken en de plastische zone bepaald. De parameters die benodigd zijn voor de berekeningen zijn gebaseerd op gegevens afkomstig uit het geotechnisch grondonderzoek, welke in de bijlagen zijn toegevoegd.

De grondwaterstand bedraagt ca. 4,50 m¹ - maaiveld.





2 *Werkomschrijving*

2.1 Algemene werkomschrijving

De uitvoering van een horizontaal gestuurde boring bestaat uit drie delen, een pilotboring, één of meerdere ruimgangen en het intrekken van de leidingen. Bij de pilotboring wordt vanaf het intredepunt naar het uittredepunt geboord. In het uittredepunt wordt de ruimer bevestigd en kan het ruimen starten. Eventueel kunnen meteen de in te trekken leidingen meegetrokken worden. Deze worden bevestigd aan een swivel zodat voorkomen wordt dat de leidingen gaan draaien. Indien er meerdere ruimgangen nodig zijn worden bij de laatste ruimgang de leidingen meegetrokken.

2.2 Te doorlopen stappen vóór de uitvoering

Voordat men kan starten met de uitvoering dienen eerst de volgende punten te zijn doorlopen.

- Er dient een bezoek gebracht te worden aan de locatie. Zo kan men de toegankelijkheid bepalen, welke machine er ingezet kan worden, hoe groot het werkterrein moet worden en wat de standplaats wordt van de machine. De standplaats van de machine bepaalt het boorgat voor het intredepunt.
- De bestaande kabels en leidingen dienen opgezocht te worden door middel van een KLIC melding en/ of door het graven van proefsleuven.
- Indien mogelijk dienen de boorgaten klaar te liggen voordat er met boren wordt begonnen.
- De boorploeg is op de hoogte van de gegevens in dit rapport en de situatie ter plaatse door middel van tekeningen en/of eventuele foto's.

2.3 Te doorlopen stappen tijdens de uitvoering

- De werkzaamheden beginnen met het aanvoeren van de boormachine op de boorlocatie.
- Er dient een kick off meeting plaats te vinden waarin de laatste zaken worden besproken omtrent de horizontaal gestuurde boring.
- Waar nodig verkeersmaatregelen treffen volgens de C.R.O.W. richtlijnen.
- Ligging van de kabels en leidingen opzoeken.
- Indien dit nog nodig is het ontgraven van het in- en uittredepunt.
- Het uitvoeren van de pilotboring.
- Tijdens de uitvoering van de pilotboring de boorkop volgen met een walk-over meetsysteem en de wijzigingen noteren op een boorstaat.
- Hoeveelheid te gebruiken bentoniet is afhankelijk van de voortgang van de boring. De boormeester voert hiervoor tijdens het boren metingen uit.
- De druk en hoeveelheid boorspoeling wordt door de boormeester/machinist afgelezen van de meters op de machine. Deze waarden worden genoteerd in een logboek.
- Na de pilotboring het boorgat ruimen met één ruimgang en tegelijk de betreffende buis intrekken.
- Machine en materiaal opruimen en afvoeren.
- Bentoniet boorspoeling afvoeren.

Indien er zich wijzigingen voordoen waardoor de horizontaal gestuurde boring veranderd ten opzichte van het rapport, wordt dit schriftelijk vastgelegd door de boorploeg.



2.4 Te doorlopen stappen na de uitvoering

- De ontwerpafdeling krijgt van de boorploeg de boorgegevens en eventuele wijzigingen retour en verwerkt dit in een revisietekening.
- De opgestelde revisietekening wordt aan de opdrachtgever verstrekt.

2.5 Personeelsbezetting boring

Boorploeg HDD	Boormeester	Surveyor	Boorhulp(en)	Overige
Rig 9 tonner	1	1	-	-

2.6 In te zetten boormaterieel

Algemeen

Mini-Rig 9 Tonner

- Leverancier: Vermeer D20x22 S3 Navigator
- Gewicht: 4,9 ton inclusief stangen
- Afmeting (LxBxH): 5200x1219x1981 mm
- Rijwerk: Rubberen rupsbanden

Capaciteiten

- Max. te boren lengte: 300 m
- Max. te boren buisdiameter: Ø 400 mm
- Min. boorstraal: R = 30.1 m
- Materiaal/diameter/lengte boorstang: staal / Ø 48 mm / 3000 mm
- Trekkracht: 87 kN
- Drukkracht: 87 kN
- Torque: 260.3 Nm
- Toerental: 257 rpm
- Pompcapaciteit: 94.6 liter/minuut
- Pompdruk: maximaal 69 bar

Overige gegevens

- Intrede hoek: 12° - 17°
- Uittredehoek: 10° - 20°
- Boorkop: Jet bit with nozzle
- Plaatsbepalingssysteem: Walk Over meetsysteem Sub Site / Radio Detection
- Barrel/conische ruimer Ø 110, 160, 225, 270, 340, 440 mm
- Transport methode: vrachtwagen met aanhanger
- Mudpomp/Mengunit: in vrachtwagen
- Overig transport: evt. bus met haspelwagen en zuigwagen voor afvoer bentonietspoeling.



2.7 Kwaliteit en keuring van de toegepaste materialen

HDPE-buizen:

De toegepaste PE-leiding wordt door Holland Drilling B.V. geleverd en is voorzien van een keurmerk. Het keurmerk wordt door de leverancier van de PE-leiding gegarandeerd en kan indien gewenst geleverd worden. De PE - buis 1x Ø 110 mm zal vanaf het maaiveld ingetrokken worden.

Boorvloeistof:

De te gebruiken boorvloeistof bestaat uit met water vermengde bentoniet.

De hiervoor te gebruiken bentoniet (Tunnel-gel) zal zijn voorzien van een certificaat.

Tijdens de uitvoering van de werkzaamheden wordt bekeken of de samenstelling van de boorspoeling verder aangepast dient/kan worden aan de lokale bodemopbouw.

Uitgangspunt daarbij is dat een boorspoeling wordt verkregen die voldoende steun geeft aan het boorgat in de plaatselijke ondergrond.

De gemiddelde samenstelling van de boorspoeling bedraagt 50/70 kg bentoniet per 1.000 liter water. Het soortelijk gewicht van de boorspoeling bedraagt circa 1.150/1.200 kg/m³ afhankelijk van de omstandigheden.

Aan de hand van de bevindingen tijdens het boorproces kunnen er toeslagstoffen (polymeren) aan de boorspoeling worden toegevoegd. Ten einde een stabiel boorgat te creëren.

De specificatie/certificaten van de toe te passen bentoniet zijn in de bijlagen opgenomen.

De overtollige boorspoeling zal na afloop van het boorproces worden afgevoerd met vloeistofdichte tankwagens. De uitkomende en evt. gerecyclede grond wordt afhankelijk van de samenstelling zoveel mogelijk in het terrein verwerkt.

2.8 Uitvoeringstechnische risico's

Uit het grondonderzoek blijkt dat de te doorboren grondlaag hoofdzakelijk bestaat uit zand.

Door de keuze van de te gebruiken bentoniet is het risico van instorten van het boorgat nihil. Mocht echter tijdens het boorproces blijken dat de boorspoeling onvoldoende steun aan het boorgat geeft, dan kan de samenstelling van de boorspoeling worden aangepast. Daarbij wordt gebruik gemaakt van de kennis en ervaring binnen Holland Drilling B.V.

Uit de Klic meldingen blijkt dat er geen obstakels c.q. objecten in de geprojecteerde boorlijnen aanwezig zijn. Indien blijkt dat er toch een obstakel aanwezig is wat niet te doorboren is, kan het boortracé in verticale en/of horizontale richting worden aangepast. In eerste instantie binnen de grenzen van het reeds afgesloten zakelijk recht. Indien dit niet mogelijk is zal in overleg met de opdrachtgever een alternatief tracé worden gekozen, waarbij de opdrachtgever het zakelijk recht afsluit met de betrokken eigenaren.

De kosten welke optreden als gevolg van een onvoorzien obstakel en/of object zullen conform artikel 47 van de UAV 1989 verrekend worden.



2.9 Registratie boorgegevens

Tijdens de pilotboring, het ruimen van het boorgat en het intrekken van de leiding zal een aantal gegevens, zoals de positie van de boorkop op vastgestelde afstanden opgemeten en geregistreerd worden in een logboek. Dit logboek is toegevoegd in dit rapport.

Tevens registreert de boormeester de intrede- en uittredehoek in procenten en de volgende gegevens tijdens het ruimen en het intrekken van de leiding:

- Duwkracht aan de boorinstallatie (kN)
- Trekkkracht aan de boorinstallatie (kN)
- Rotatie aan de boorinstallatie (rpm)
- Pomp opbrengst aan de boorinstallatie (l/min)
- Pompdruk aan de boorinstallatie (bar)

De geregistreerde gegevens van de boorploeg worden door de ontwerpafdeling verwerkt in de revisie. Alle gegevens worden bij Holland Drilling B.V. gearchiveerd. Bovendien zal er een kopie van de revisie naar de opdrachtgever verstuurd worden.

2.10 Toelaatbare afwijkingen boring

De toelaatbare afwijking van de boring, conform afwijkingen richtlijn Boortechnieken DWW 2004, welke als bijlage 7 is opgenomen in dit rapport.

Tijdens het boren kunnen kleine afwijkingen in de boorlijn optreden, bijvoorbeeld na 25 m¹ ca. 0,25 rechts van de boorlijn. De surveyor zal deze afwijking voorzichtig corrigeren door naar links gaan sturen. Bij een dergelijke boring kan het zo zijn dat de afwijking eerst nog iets groter wordt bijvoorbeeld 0,75 meter voordat de boring terug op de geprojecteerde lijn komt. Deze geringe afwijking wordt uiteraard in de revisie meegenomen.

Als er sterk gestuurd wordt om de afwijkingen minimaal te houden, geeft dit een kwalitatief mindere boring dan dat er iets grotere afwijkingen geaccepteerd worden (extra spanningen in de leiding). Dit geldt ook in verticale zin.

Het belangrijkste is dat de boorlijn die gevolgd is geen extra spanningen in de leiding geeft en goed gereviseerd wordt.

2.11 Bestaande kabels en leidingen

Er is voor aanvang van de engineering door Holland Drilling B.V. informatie verkregen over de ligging van bestaande infrastructuur door middel van een KLIC-melding.

Voor uitvoering wordt door Holland Drilling B.V. een KLIC melding gedaan, om de ligging van de bestaande ondergrondse infrastructuur in kaart te brengen. Tevens zal indien nodig met de betreffende leidingbeheerders contact worden opgenomen. Voor aanvang van de boringen worden er door de BAM proefsleuven gemaakt nabij de begin en einde van de boringen. Aan de hand van deze proefsleuven worden vervolgens de in- en uittredeputten gegraven. De klic-melding zal tijdens de uitvoering op het werk aanwezig zijn.



2.12 Planning

De planning die hier wordt aangegeven is een voorlopige planning. De werkelijke tijdsduur kan hiervan afwijken.

Boring	Aan- en afvoer boorequipment (uur)	Pilotboring (uur)	Ruimen boorgat (uur)	Intrekken PE- leiding(en) (uur)	Totale tijdsduur (uur)
01	2	2	1	Tijdens ruimgang	5

De start van de werkzaamheden is in overleg met de opdrachtgever en wanneer de benodigde vergunningen afgegeven zijn door de betrokken instanties.

Werktijden kunnen aangepast worden aan de werkzaamheden welke moeten worden uitgevoerd en de voortgang van het boorproces goed te laten verlopen. Werkdagen van 07.00 tot 20.00 uur komen hierbij regelmatig voor. Het intrekken van de boorstreng zal in één aaneengesloten fase plaatsvinden.

Wanneer het onderbreken van de werkzaamheden een onaanvaardbaar verhoogd risico voor de uitvoering van de boring veroorzaakt kan er door Holland Drilling B.V. besloten worden om 's nachts en in het weekend door te werken. Dit zal altijd in goed overleg met de opdrachtgever en de gemeente (omwonenden) plaatsvinden.



3 Sterkte- en Boorspoeldrukberekeningen

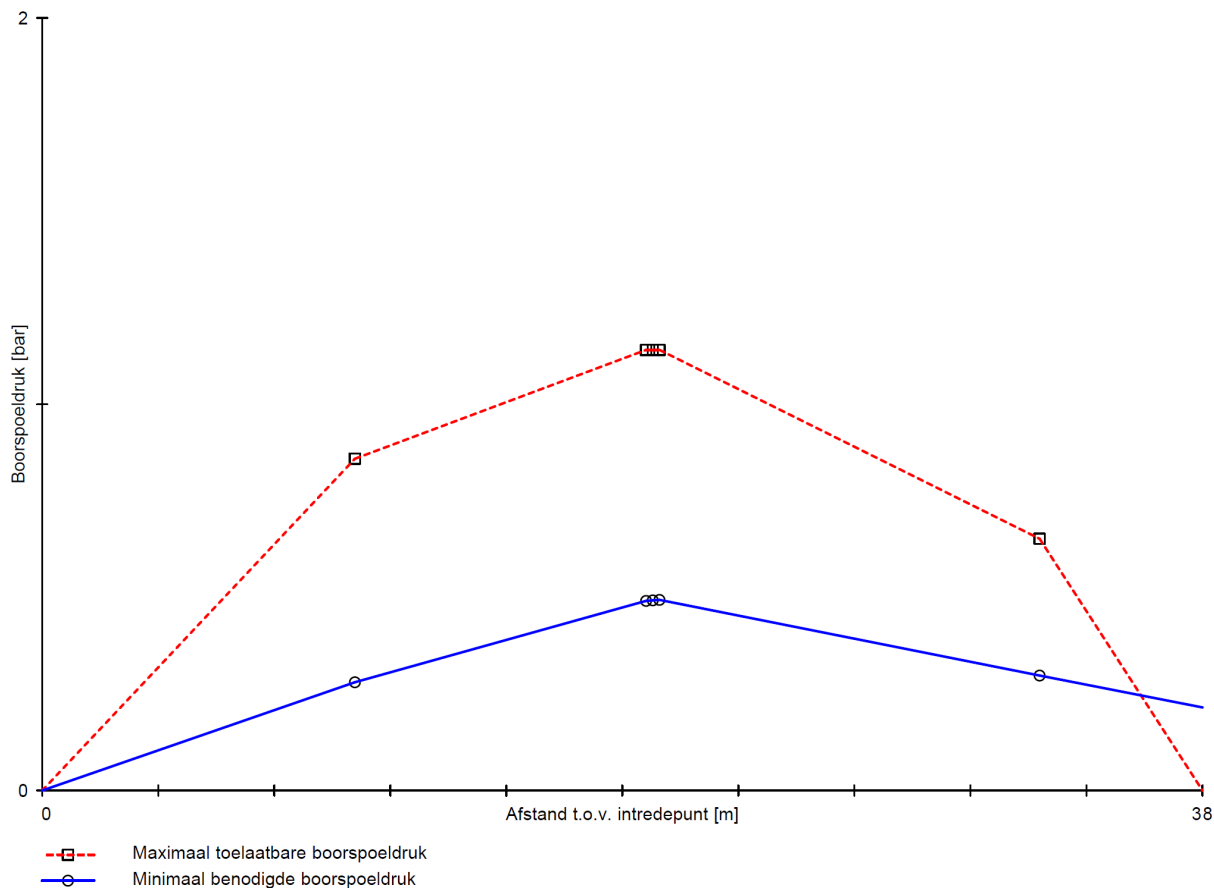
Voor de gestuurde boring zijn berekeningen uitgevoerd met betrekking tot de sterkteberekening en toelaatbare boorspoeldrukken. Onderstaande gegevens per boring zijn als bijlage 4 opgenomen in dit rapport

3.1 De theoretische trekkracht

Voor het bepalen van de theoretische trekkracht tijdens de boorfase zijn er berekeningen uitgevoerd met het programma Sigma 2018 1.5, conform NEN 3650 en 3651.

3.2 De toelaatbare vloeistofdruk

Voor benodigde boorspoeldrukken op verschillende kritieke punten, conform NEN 3650 en 3651 wordt verwezen naar de boorspoeldrukberekening.



3.3 De toelaatbare treksterkte

De maximaal toelaatbare trekkracht voor de in te trekken HDPE-buis van de gestuurde boring wordt door de leverancier als volgt opgegeven, dit bedraagt:

- PE 100 Ø 110 mm SDR 17 drukklasse PN 16 => 21,44 kN ≈ 2,1 ton



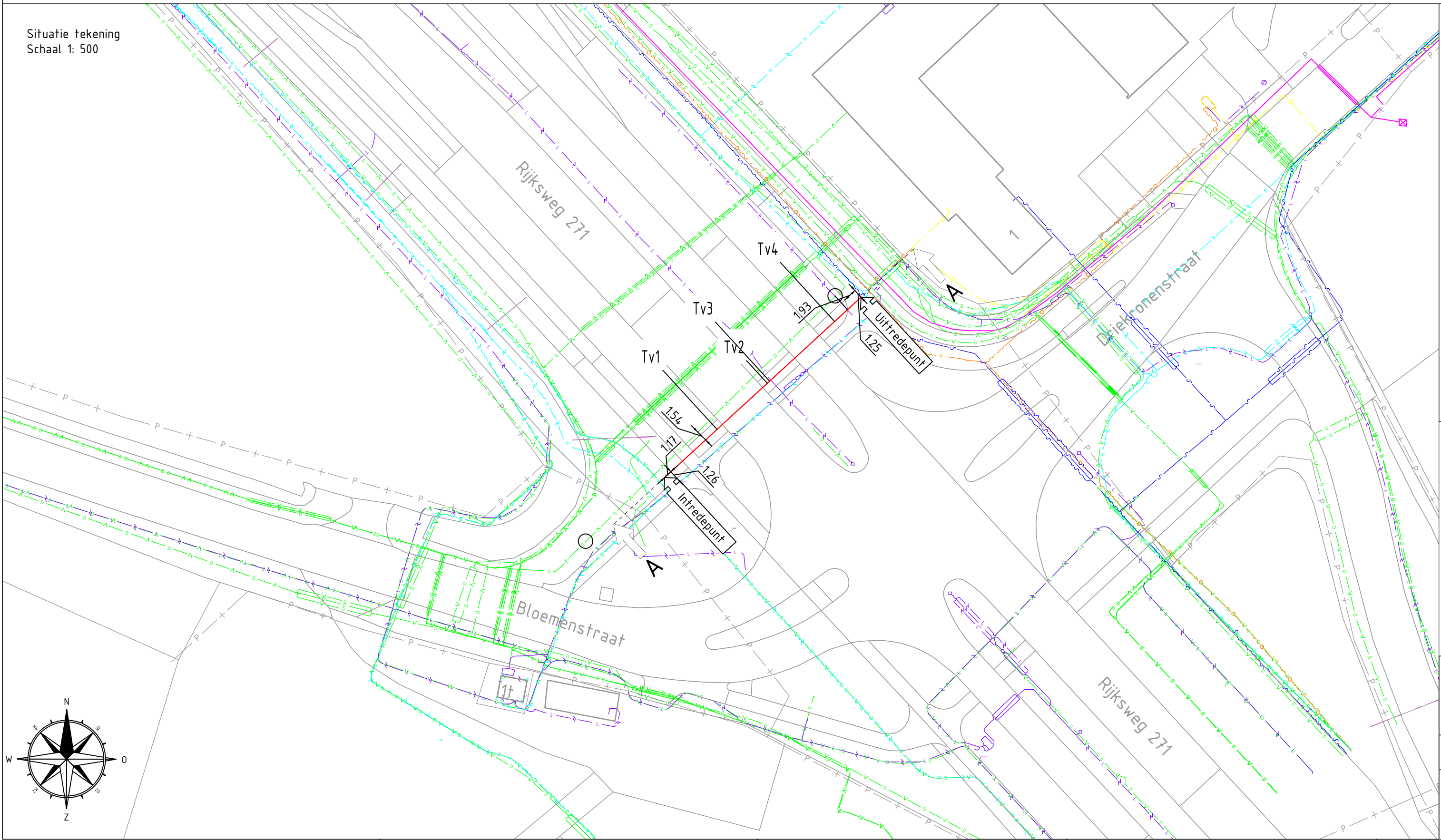
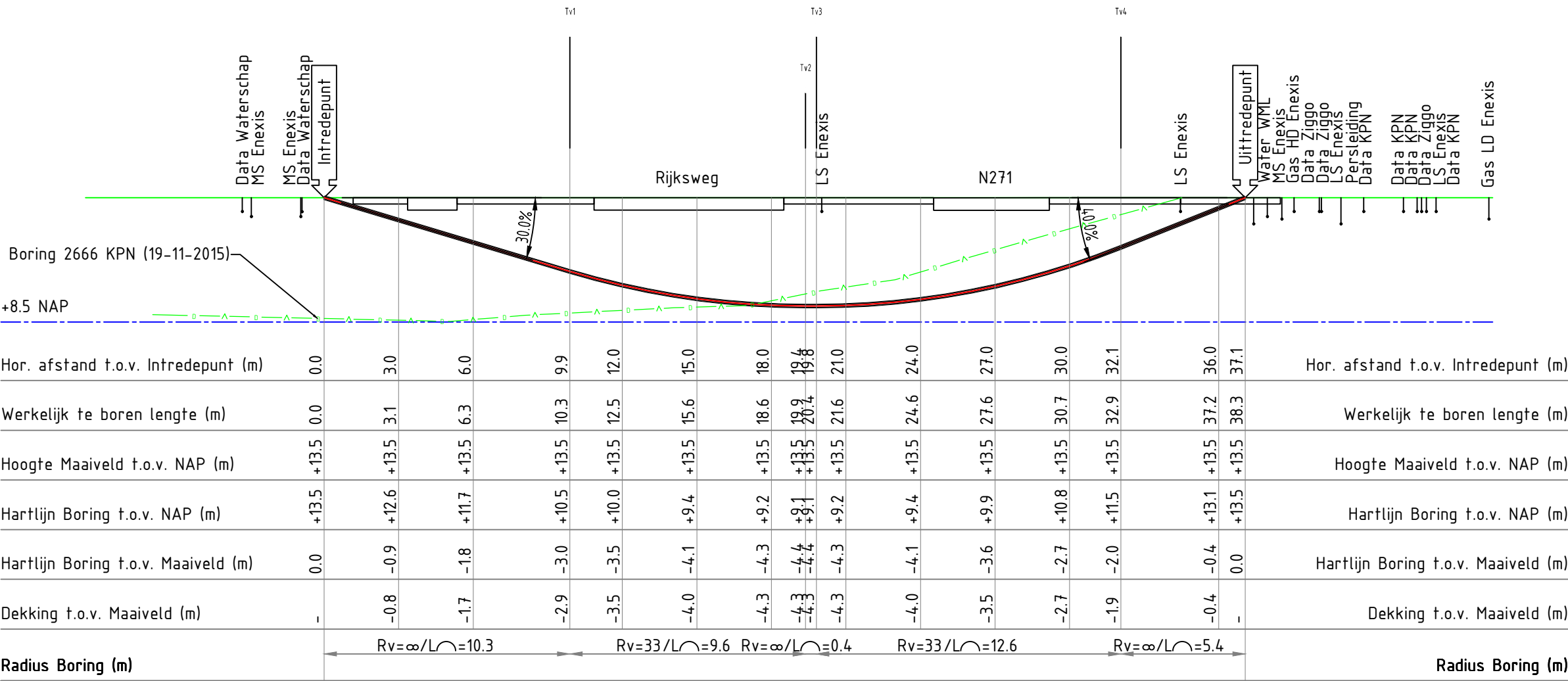
Bijlage 1

Tekeningen

- 19_20432-01-P-B01



Boring B01
Lengteprofiel A-A



Boorgatdiameter Ø 160 mm
HDPE buis 1x Ø 110 mm PE 100 SDR 17,
PN 10 t.b.v. medium voerende buis /
mantelbuis

Tabel Tangentpunten Boring B01

	X	Y	Z (NAP)
Intrede	194615.61	414191.96	13.50
Tv1	194622.90	414198.65	10.53
Tv2	194629.88	414205.06	9.14
Tv3	194630.20	414205.35	9.14
Tv4	194639.23	414213.64	11.50
Uittrede	194642.91	414217.02	13.50



Holland Drilling BV Tel: 0485 - 74 50 40
Simon Homburgstraat 17
5431 NN Cuijk www.hollanddrilling.nl
info@hollanddrilling.nl

Gefekend:
L. Sijstermans

Goedgekeurd:
D. Kanters

Tekening nr.
19_20432-01-P-B01

Datum:
05-06-2019

Schaal:
divers



Boring 01 onder Rijksweg N271 te Milsbeek

Projectnummer:
19/20432

Versie:
01

Blad:
1

Formaat:
A2

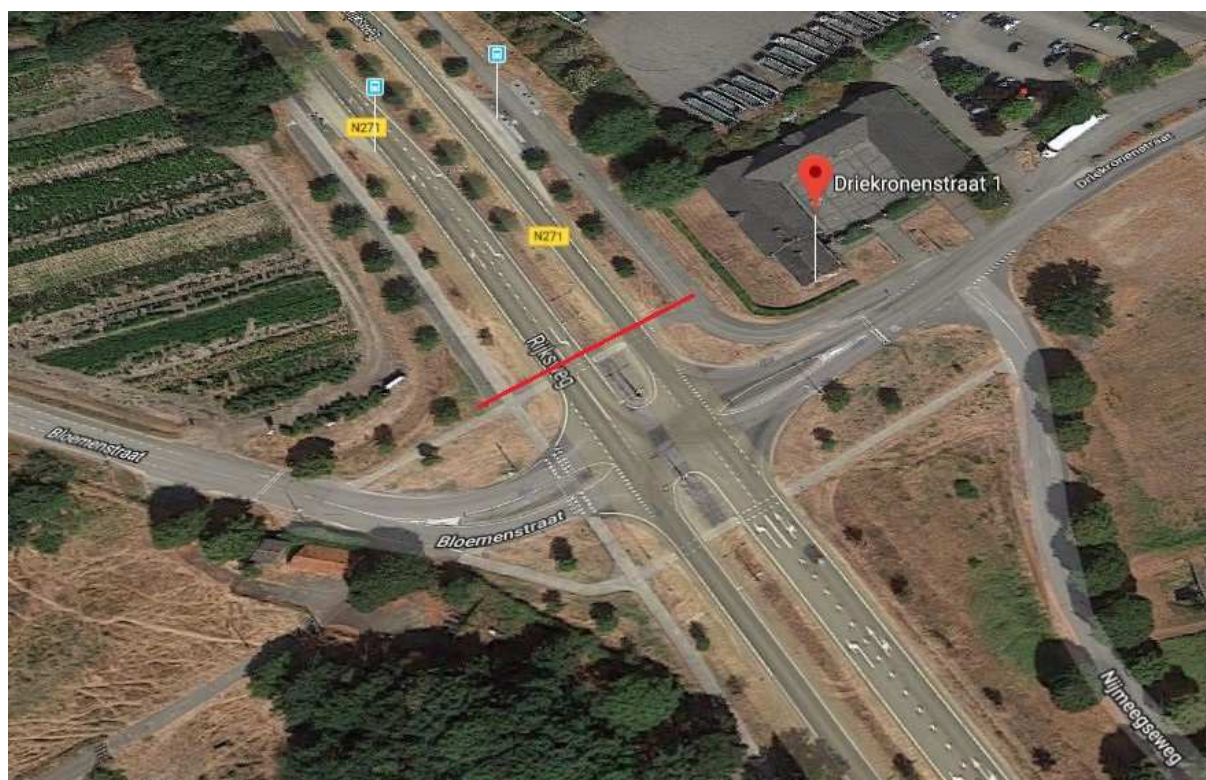


- Horizontaal gestuurde boringen (HDD)
- Pilot gestuurde avegaarboringen
- Pipe bursting
- Persboringen
- Dämmer specialisme



Bijlage 2

Luchtfoto boorlocatie





Bijlage 3

Grondonderzoek

- B46B0030
- B46B0032
- CPT000000072345_IMBRO_A
- CPT000000072347_IMBRO_A

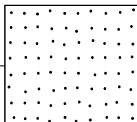
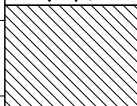
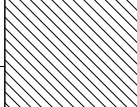
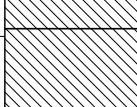
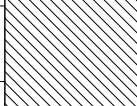
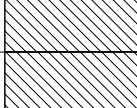
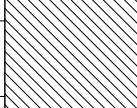
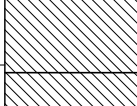
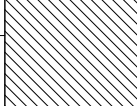


		DIEPTE NAP [m]		BESCHRIJVING		
		↓LAAG↓	VAN TOT			
DIEPTE (m) t.o.v. NAP	MV (14,00)	MONSTER				
	14					
	13					
	12	1	1 14,00 10,90	zand; ON=???		
	11					
	10					
	9	2	2 10,90 7,80	zand; ON=???		
	8					
	7					
	6	3	3 7,80 4,70	zand; ON=???		
	5					
	4					
	3	4	4 4,70 1,60	zand; ON=???		
	2					
	1					
	0	5	5 1,60 -1,50	zand; ON=???		
	-1					
	-2					
	-3	6	6 -1,50 -4,60	zand; ON=???		
	-4					
	-5					
	-6	7	7 -4,60 -7,70	zand; ON=???		
	-7					
	-8					
	-9	8	8 -7,70 -10,80	zand; ON=???		
<Not Registered> <Not Registered>		<Not Registered> <Not Registered> <Not Registered>	Telefoon Telefax	<Not Registered> <Not Registered>	datum 1968-05-01	get.
- [Blad 1 / 3]					DINO-BOR	gez.
					BIJL.	form. A4

	MONSTER	DIEPTE NAP [m]		BESCHRIJVING
		↓LAAG↓	VAN TOT	
DIEPTE (m) t.o.v. NAP	-10	8	8 -7,70 -10,80	zand; ON=??? 'ZFC'
	-11			
	-12	9	9 -10,80 -13,90	zand; ON=??? 'ZFC'
	-13			
	-14			
	-15	10	10 -13,90 -17,00	zand, zwak siltig; ON=??? 'ZFC'
	-16			
	-17			
	-18	11	11 -17,00 -20,10	zand; ON=??? 'ZFC'
	-19			
	-20			
	-21	12	12 -20,10 -23,20	zand; ON=??? 'ZFC'
	-22			
	-23			
	-24	13	13 -23,20 -26,30	zand; ON=??? 'ZFC'
	-25			
	-26			
	-27			
	-28	14	14 -26,30 -29,40	zand; ON=??? 'ZFC'
	-29			
	-30			
	-31	15	15 -29,40 -32,50	zand; ON=??? 'ZFC'
	-32			
<Not Registered> <Not Registered>		<Not Registered> <Not Registered> <Not Registered>	Telefoon Telefax	<Not Registered> <Not Registered>
-		datum		get.
		1968-05-01		
-		gez.		
		DINO-BOR		
-		form.		
		BIJL.		A4
[Blad 2 / 3]				

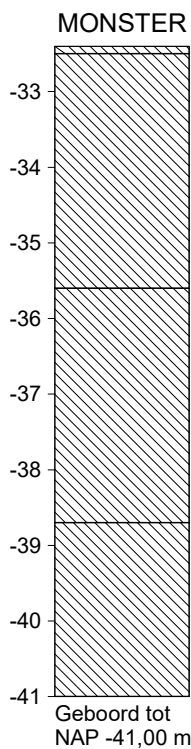
		DIEPTE NAP [m]		BESCHRIJVING
		↓LAAG↓	VAN TOT	
DIEPTE (m) t.o.v. NAP	MONSTER	15	15 -29,40 -32,50	zand; ON=??? 'ZFC'
	-33			
	-34	16	16 -32,50 -35,60	zand; ON=??? 'ZFC'
	-35			
	-36			
	-37	17	17 -35,60 -38,70	zand; ON=??? 'ZFC'
	-38			
	-39			
	-40	18	18 -38,70 -41,80	zand; ON=??? 'ZFC'
	-41			Einde Boring B46B0030
Geboord tot NAP -41,80 m				
maaiveld: NAP 14,00 m X = 194720 m Y = 414360 m (RD)				
<Not Registered> <Not Registered>		<Not Registered> <Not Registered> <Not Registered>	Telefoon Telefax	<Not Registered> <Not Registered>
-		datum		get.
		1968-05-01		
-		gez.		
		DINO-BOR		
-		form.		
		BIJL.		A4
[Blad 3 / 3]				

DIEPTE (m) t.o.v. NAP		DIEPTE NAP [m]		BESCHRIJVING
		↓LAAG↓	VAN TOT	
MV (14,00) 	MONSTER			
	14			
	13			
	12	1	1 14,00 10,90	zand; ON=??? 'ZMGO'
	11			
	10			
	9	2	2 10,90 7,80	ZG=???; ON=??? 'ZGC'
	8			
	7			
	6	3	3 7,80 4,70	GS1=???; ON=???
	5			
	4			
	3	4	4 4,70 1,60	zand; ON=??? 'ZMGO'
	2			
	1			
	0	5	5 1,60 -1,50	zand; ON=??? 'ZMGO'
	-1			
	-2			
	-3	6	6 -1,50 -4,60	zand; ON=??? 'ZMGO'
	-4			
	-5			
	-6	7	7 -4,60 -7,70	zand; ON=??? 'ZMGO'
	-7			
	-8			
	-9	8	8 -7,70 -10,80	zand; ON=??? 'ZMGO'
<Not Registered> <Not Registered>		<Not Registered> <Not Registered> <Not Registered>	Telefoon Telefax	<Not Registered> <Not Registered>
-		datum		get.
		1969-01-01		
-		gez.		
		DINO-BOR		
-		form.		
		BIJL.		A4
[Blad 1 / 3]				

DIEPTE (m) t.o.v. NAP	MONSTER	↓LAAG↓		DIEPTE NAP [m]		BESCHRIJVING
				VAN	TOT	
-10		8	8	-7,70	-10,80	zand; ON=??? 'ZMGO'
-11		9	9	-10,80	-13,90	leem; ON=???
-12						
-13						
-14		10	10	-13,90	-17,00	leem; ON=???
-15						
-16						
-17		11	11	-17,00	-20,10	leem; ON=???
-18						
-19						
-20		12	12	-20,10	-23,20	leem; ON=???
-21						
-22						
-23		13	13	-23,20	-26,30	leem; ON=??? 'SCH1'
-24						
-25						
-26		14	14	-26,30	-29,40	leem; ON=???
-27						
-28						
-29		15	15	-29,40	-32,50	leem; ON=???
-30						
-31						
-32						

-	[Blad 2 / 3]	<Not Registered> <Not Registered>	<Not Registered> <Not Registered> <Not Registered>	Telefoon Telefax	<Not Registered> <Not Registered>	datum 1969-01-01	get. gez.

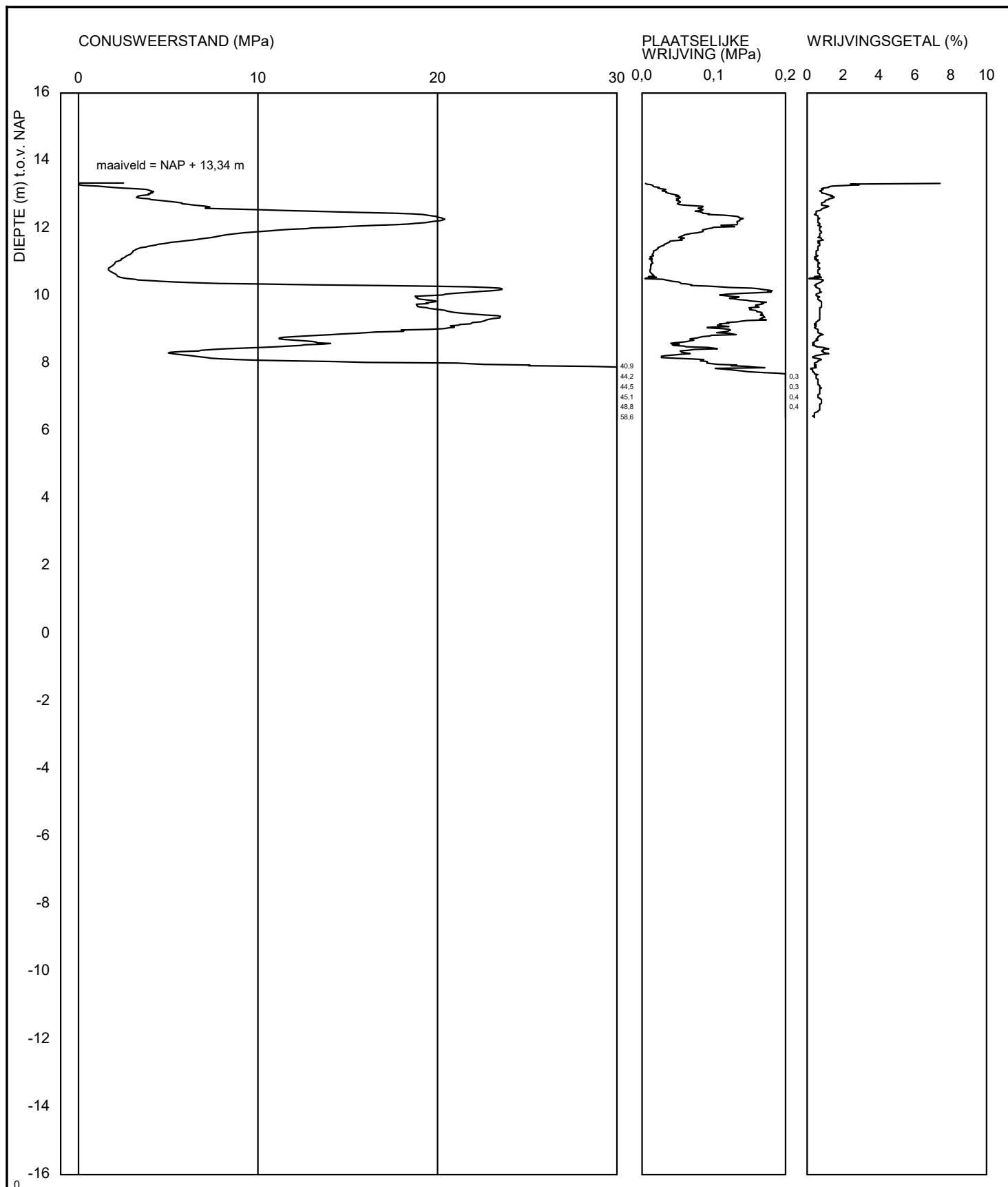
DIEPTE (m) t.o.v. NAP



DIEPTE NAP [m]				BESCHRIJVING
↓LAAG↓		VAN	TOT	
15	15	-29,40	-32,50	leem; ON=???
16	16	-32,50	-35,60	leem; ON=???
17	17	-35,60	-38,70	leem; ON=??? 'SCH1'
18	18	-38,70	-41,00	leem; ON=??? 'SCH1'
				Einde Boring B46B0032

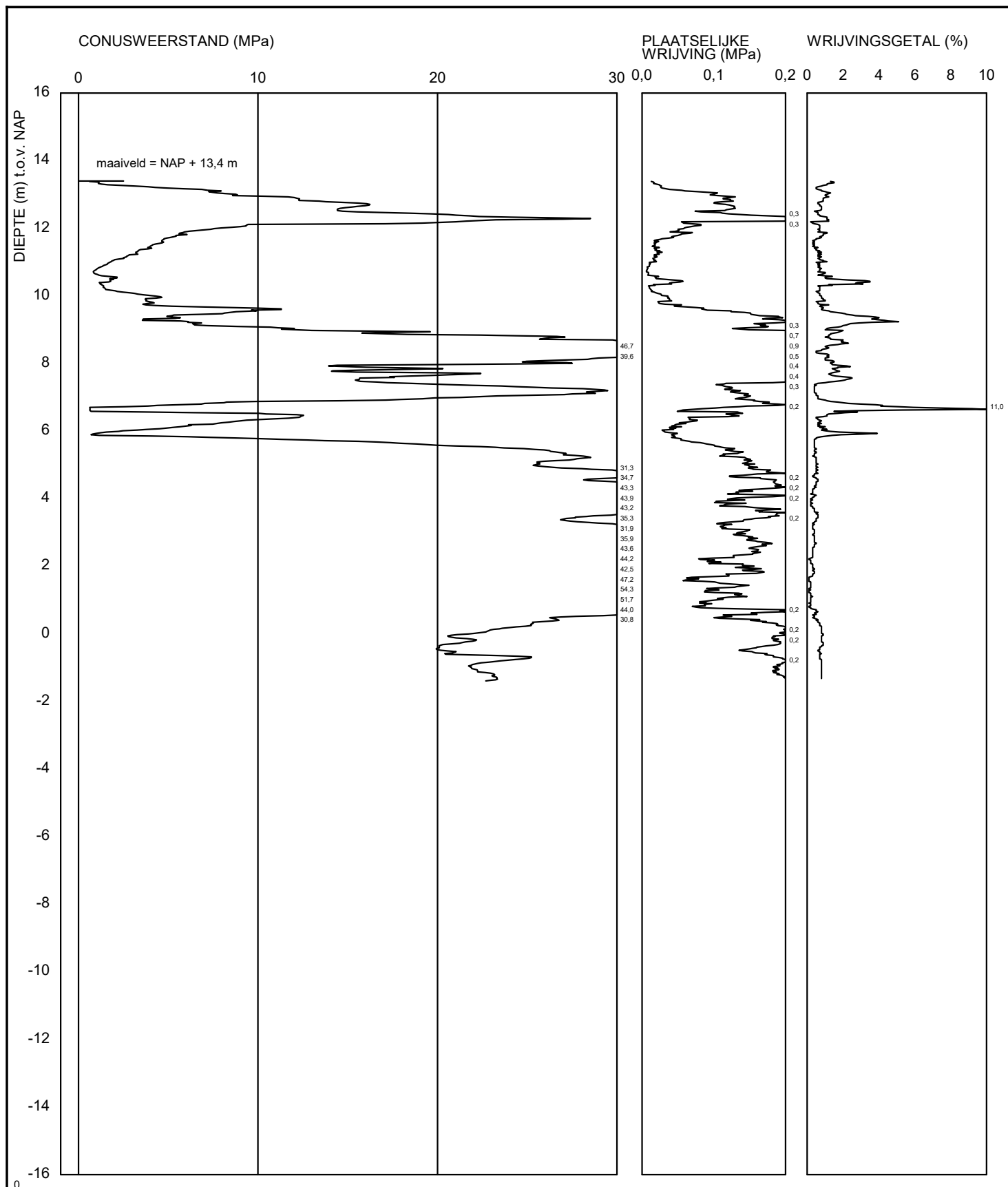
maaiveld: NAP 14,00 m
X = 194720 m Y = 414360 m (RD)

<div><Not Registered> <Not Registered></div>				<div><Not Registered> <Not Registered> <Not Registered></div>	<div>Telefoon Telefax</div>	<div><Not Registered> <Not Registered></div>	<div>datum 1969-01-01</div>	<div>get.</div>
-							<div>DINO-BOR</div>	<div>gez.</div>
- [Blad 3 / 3]							<div>BIJL.</div>	<div>form. A4</div>



<div><Not Registered></div> <div><Not Registered></div>				<div><Not Registered></div> <div><Not Registered></div>	<div>Telefoon</div> <div>Telefax</div>	<div><Not Registered></div> <div><Not Registered></div>	<div>datum</div> <div>2014-10-01</div>	<div>get.</div> <div>-</div>
<div>-</div> <div>-</div> <div>Sondering CPT000000072345</div>							<div>BRO-/</div>	<div>gez.</div>
							<div>BIJL. -</div>	<div>form.</div> <div>A4</div>

Sondering CPT000000072345



<Not Registered> <Not Registered>				datum 2014-10-01		get. -
<Not Registered> <Not Registered> <Not Registered> <Not Registered>				BRO-/		gez.
-				BIJL. -		form. A4
-						

Sondering CPT000000072347



Bijlage 4

Sterkte- en boorspoeldrukberekeningen

- B01 1x110 mm SDR 17



Sterkteberekening van een horizontaal gestuurde boring conform NEN 3650/3651:2012		Sigma 2018 1.5 ©	
Algemene gegevens			
Naam van het project : HDD Boringen Milsbeek Projectonderdeel : HDD Rijksweg N271			
Materiaalgegevens			
Materiaalsoort:	PE		
Kwaliteit:	PE 100		
Lange-duur treksterkte	MRS	= 10	N/mm²
Materiaalfactor	γ_M	= 1,25	-
Toelaatbare langeduur spanning	$\bar{\sigma}_t$	= 8,00	N/mm²
Elasticiteitsmodulus korte duur	E	= 975	N/mm²
Elasticiteitsmodulus lange duur	E'	= 350	N/mm²
Lineaire uitzettingscoëfficiënt	α_g	= 16,0·10 ⁻⁵	mm/(mm·K)
Alfa Tangentiëel / Alfa Axiaal	α_σ	= 0,65	-
Soortelijk gewicht buis	ρ_L	= 9,55	kN/m³
Toelaatbare deflectie	δ	= 8	%
Leidinggegevens			
Uitwendige middellijn	D _e	= 110,00	mm
Wanddikte	d _n	= 6,47	mm
Procesgegevens			
Soort leiding (Vloeistof / Gas / Drukloos)		= Drukloos	
Uitvoeringsaspecten, tracé boring, in- en uittredehoeken, onzekerheids- en wrijvingsfactoren			
Percentage omtrek in aanraking met bentoniet		= 100	%
Soortelijk gewicht boorvloeistof	ρ_m	= 11,5	kN/m³
Zwichtspanning boorvloeistof	τ_y	= 15	Pa
Leiding wordt niet verzwaaard t.p.v. rollenbaan			
Leiding wordt niet verzwaaard t.p.v. boorgang			
Diameter ruimer ivm boorspoeldruk	D _g	= 160	mm
Diameter boorstang	D _b	= 53	mm
Totale lengte	L	= 38,33	m
Lengte 1e rechte deel	L ₁	= 10,33	m
Lengte neergaande bocht	L ₂	= 9,62	m
Lengte 2e rechte deel	L ₃	= 0,44	m
Lengte opgaande bocht	L ₄	= 12,56	m
Lengte 3e rechte deel	L ₅	= 5,38	m
Straal maaiveld/rollenbaan	R _r	= 50,00	m
Straal neergaande bocht	R ₁	= 33,00	m
Straal opgaande bocht	R ₂	= 33,00	m
Intrede-hoek (bij boorstelling)	α_1	= 16,70 / 30	° / %
Uittrede-hoek (bij rollenbaan)	α_2	= 21,80 / 40	° / %
Belastinghoek	α	= 180	°
Ondersteuningshoek	β	= 120	°
Horizontale steundrukhoek	γ	= 120	°
Geen grondmechanisch onderzoek uitgevoerd	γ	= 1,1	
Totaalfactor bij normale boring	f	= 1,4	
Belastingfactor, bovengronds	f _{k,b}	= 1,1	
Belastingfactor, ondergronds	f _{k,o}	= 1,4	
Onzekerheidsfactor straal, ondergronds	f _{r,o}	= 0,9	
Wrijvingscoëff. zonder rollenbaan	f ₁	= 0,3	
Wrijving tussen leiding/boorvloeistof	f ₂	= 0,00005	N/mm²
Wrijving tussen leiding/boorgangwand	f ₃	= 0,2	
19/20432			
06-06-2019 07:27:18			

Sterkteberekening van een horizontaal gestuurde boring conform NEN 3650/3651:2012

Sigma 2018 1.5 ©

Grondmechanische gegevens en verkeersbelasting

Locatie	Afstand t.o.v. intredepunt [m]	Dekking t.o.v. maaiveld [m]	G.W.S. t.o.v. maaiveld [m]	Grond- soort	Volumiek gewicht droge grond [kN/m ³]	Volumiek gewicht natte grond [kN/m ³]	Wrijvings- hoek grond [°]
1e rechte deel	10,33	2,97	1,00	Zand	18,00	20,00	32,50
Neergaande bocht	19,95	4,36	1,00	Zand	18,00	20,00	32,50
2e rechte deel	20,17	4,36	1,00	Zand	18,00	20,00	32,50
Opgaande bocht	20,39	4,36	1,00	Zand	18,00	20,00	32,50
3e rechte deel	32,95	2,00	1,00	Zand	18,00	20,00	32,50

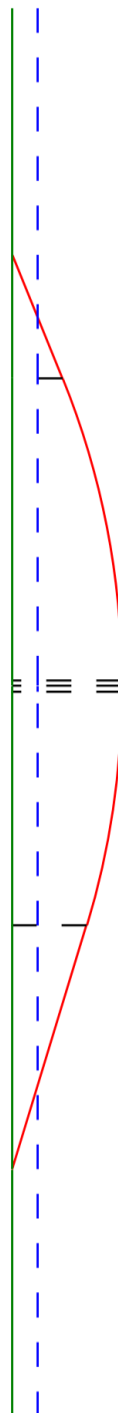
Locatie	Gereduceerde grondbelasting	Gemiddelde verticale beddingconstante [N/mm ³]	Effectieve cohesie [kN/m ²]	E-modulus ondergrond [MN/m ²]	Verkeersbelasting
1e rechte deel	Geen	-	0,00	2,00	Grafiek ½ x II
Neergaande bocht	Geen	0,0060	0,00	2,00	Grafiek I
2e rechte deel	Geen	-	0,00	2,00	Grafiek I
Opgaande bocht	Geen	0,0060	0,00	2,00	Grafiek I
3e rechte deel	Geen	-	0,00	2,00	Grafiek ½ x II

3e rechte deel

2e rechte deel

1e rechte deel

Nominale diameter



* Niet op schaal

2. Eigenschappen van de leiding

Inwendige middellijn	$D_i = D_e - 2 \cdot d_n$	= 97,06	mm
Gemiddelde middellijn	$D_g = (D_e + D_i)/2$	= 103,53	mm
Uitwendige middellijn+bekleding	$D_o = D_e + 2 \cdot e$	= 110,00	mm
Uitwendige straal	$r_e = D_e / 2$	= 55,00	mm
Inwendige straal	$r_i = D_i / 2$	= 48,53	mm
Gemiddelde straal	$r_g = (r_e + r_i) / 2$	= 51,77	mm
Traagheidsmoment buis	$I_b = (D_e^4 - D_i^4) \cdot \pi / 64$	= 2.830.450,99	mm ⁴
Weerstandsmoment buis	$W_b = I_b / r_e$	= 51.462,75	mm ³
Wandtraagheidsmoment	$I_w = d_n^3 / 12$	= 22,57	mm ⁴ /mm ¹
Wandweerstandsmoment	$W_w = d_n^2 / 6$	= 6,98	mm ³ /mm ¹
Oppervlakte leiding	$A = \pi \cdot (D_e^2 - D_i^2) / 4$	= 2.104,36	mm ²
Gewicht leiding	$g = \rho_L \cdot A$	= 0,0201	N/mm ¹

3. Berekening van het gewicht van de leiding tijdens het intrekken van de leiding

	Leiding op rollenbaan/maaiveld	Leiding in boorgat
Gewicht mediumleiding	$g = 0,0201 \text{ N/mm}^1$	$g = 0,0201 \text{ N/mm}^1$
Gewicht vulling	$g_{vul} = \text{N.v.t.} +$	$g_{vul} = \text{N.v.t.} +$
Totaal gewicht	$g_{rol} = 0,0201 \text{ N/mm}^1$	$g_{gat} = 0,0201 \text{ N/mm}^1$

4. Berekening van de trekkrachten en spanningen bovengronds

4.1 Berekening van de benodigde trekkrachten op rollenbaan/maaiveld

Trekkracht T_1 tijdens verschillende stadia [N]	L [m]	T_1 [N]
Starten met trekken	38,33	324
Na 1 ^e deel intrekken	32,95	278
Na 2 ^e deel intrekken	20,39	172
Na 3 ^e deel intrekken	19,95	168
Na 4 ^e deel intrekken	10,33	87

$$T_1 = f \cdot L \cdot g_{rol} \cdot f_1 = 1,4 \cdot L \cdot 0,0201 \cdot 0,3$$

4.2 Berekening van de optredende spanningen t.g.v. de trekkrachten op rollenbaan/maaiveld

Spanningen σ_t tijdens verschillende stadia [N/mm ²]	T_1 [N]	σ_t [N/mm ²]
Starten met trekken	324	0,15
Na 1 ^e deel intrekken	278	0,13
Na 2 ^e deel intrekken	172	0,08
Na 3 ^e deel intrekken	168	0,08
Na 4 ^e deel intrekken	87	0,04

$$\sigma_t = \frac{T_1}{A} = \frac{T_1}{2.104,36}$$

4.3 Berekening van de optredende spanning t.g.v. kromming van de leiding op rollenbaan/maaiveld

$$M_b = f_{k,b} \cdot E \cdot \frac{I_b}{R_r}$$

$$M_b = 1,1 \cdot 975 \cdot \frac{2.830.451}{50.000} = 60.713,17 \text{ Nmm}$$

$$\sigma_b = \frac{M_b}{W_b}$$

$$\sigma_b = \frac{60.713,17}{51.463} = 1,18 \text{ N/mm}^2$$

4.4 Totalisatie van de optredende spanningen op rollenbaan/maaiveld

Spanningen σ_a tijdens verschillende stadia [N/mm ²]	σ_t [N/mm ²]	σ_a [N/mm ²]
Starten met trekken	0,15	0,92
Na 1 ^e deel intrekken	0,13	0,90
Na 2 ^e deel intrekken	0,08	0,85
Na 3 ^e deel intrekken	0,08	0,85
Na 4 ^e deel intrekken	0,04	0,81

$$\sigma_a = \alpha_{\sigma} \cdot \sigma_b + \sigma_t = 0,65 \cdot 1,18 + \sigma_t$$

Toelaatbare spanning: $\sigma_{kd} = MRS = 10,00 \text{ N/mm}^2$

5. Berekening van de optredende spanningen tijdens het intrekken van de leiding in het boorgat**5.1 Berekening van de vereiste trekkracht T_2 en T_{3a} in verband met wrijving tussen leiding en boorvloeistof/boorgangwand**

Tijdens het intrekken van de leiding in het boorgat treedt er wrijving op tussen de leiding en boorvloeistof.

100% van de omtrek van de leiding komt in aanraking met bentoniet. Hieruit volgt: $D_{e,omtrek} = 345,58 \text{ mm}^1$

Gewicht van de leiding (+vulling) in het boorgat $g_{gat} = 0,0201 \text{ N/mm}^1$

Gelet op het gewicht van de boorvloeistof: $g_{opw} = \rho_m \cdot D_e^2 \cdot \pi/4 = 11,5 \cdot 110,00^2 \cdot \pi/4 = 0,109 \text{ N/mm}^1$

Gelet hierop is $g_{eff} = |g_{gat} - g_{opw}| = 0,0892 \text{ N/mm}^1$

Trekkracht T_2 en T_{3a} tijdens verschillende stadia [N]	L [m]	T_2 [N]	T_{3a} [N]
1 ^e deel intrekken	5,38	265	-
2 ^e deel intrekken	17,94	-	882
3 ^e deel intrekken	18,38	904	-
4 ^e deel intrekken	28,00	-	1.377
Geheel ingetrokken	38,33	1.884	-

Rechte delen: $T_2 = f \cdot L \cdot (D_{e,omtr} \cdot f_2 + g_{eff} \cdot f_3) = 1,4 \cdot L \cdot (345,58 \cdot 0,00005 + 0,0892 \cdot 0,2)$

Gebogen delen: $T_{3a} = f \cdot L_B \cdot (D_{e,omtr} \cdot f_2 + g_{eff} \cdot f_3) = 1,4 \cdot L \cdot (345,58 \cdot 0,00005 + 0,0892 \cdot 0,2)$

5.3 Berekening van de vereiste trekkracht T_{3b} in verband met wrijving door grondreactie in de bochten**5.3.1 Neergaande bocht**

$$\lambda = \sqrt[4]{\frac{D_o \cdot k_{v,gem}}{4 \cdot E \cdot I_b}}$$

$$\lambda = \sqrt[4]{\frac{110,00 \cdot 0,0060}{4 \cdot 975 \cdot 2.830.450,99}} = 0,0028 \text{ mm}^{-1}$$

$$Q_{r1} = \frac{0,322 \cdot \lambda^2 \cdot E \cdot I_b}{D_o \cdot f_{r,o} \cdot R}$$

$$Q_{r1} = \frac{0,322 \cdot 0,0028^2 \cdot 975 \cdot 2.830.450,99}{110,00 \cdot 0,9 \cdot 33.000} = 0,0021 \text{ N/mm}^2$$

$$T_{3b} = f \cdot 4 \cdot \frac{Q_{r1}}{2} \cdot D_o \cdot \frac{\pi}{\lambda} \cdot f_3$$

$$T_{3b} = 1,4 \cdot 4 \cdot \frac{0,0021}{2} \cdot 110,00 \cdot \frac{\pi}{0,0028} \cdot 0,2 = \mathbf{146,37 \text{ N}}$$

5.3.2 Opgaande bocht

$$\lambda = \sqrt[4]{\frac{D_o \cdot k_{v, gem}}{4 \cdot E \cdot I_b}}$$

$$\lambda = \sqrt[4]{\frac{110,00 \cdot 0,0060}{4 \cdot 975 \cdot 2.830.450,99}} = 0,0028 \text{ mm}^{-1}$$

$$Q_{r2} = \frac{0,322 \cdot \lambda^2 \cdot E \cdot I_b}{D_o \cdot f_{r,o} \cdot R}$$

$$Q_{r2} = \frac{0,322 \cdot 0,0028^2 \cdot 975 \cdot 2.830.450,99}{110,00 \cdot 0,9 \cdot 33.000} = 0,0021 \text{ N/mm}^2$$

$$T_{3b} = f \cdot 4 \cdot \frac{Q_{r2}}{2} \cdot D_o \cdot \frac{\pi}{\lambda} \cdot f_3$$

$$T_{3b} = 1,4 \cdot 4 \cdot \frac{0,0021}{2} \cdot 110,00 \cdot \frac{\pi}{0,0028} \cdot 0,2 = \mathbf{146,37 \text{ N}}$$

5.4 Berekening van de wrijving door bochtkracht T_{3c}

Trekkraft T_{bocht} tijdens verschillende stadia [N]	T_1 [N]	T_{3a} [N]	$T_{3b, neer}$ [N]	$T_{3b, op}$ [N]	T_{bocht} [N]
Neergaande bocht	172	882	146	-	1.200
Opgaande bocht	87	1.377	146	146	1.757

Neergaande bocht: $T_{bocht} = T_1 + T_{3a, neer} + T_{3b, neer, max}$

Opgaande bocht: $T_{bocht} = T_1 + T_{3a, neer} + T_{3b, neer, max} + T_{3a, op} + T_{3b, op, max}$

Trekkraft T_{3c} tijdens verschillende stadia [N]	α [°]	T_{bocht} [N]	T_{3c} [N]
Neergaande bocht	8,35	1.200	98
Opgaande bocht	10,90	1.757	143

$$T_{3c} = f \cdot L_B \cdot g_t \cdot f_3$$

$$L_B = 2 \cdot R \cdot 2\pi \cdot \frac{\alpha}{360}$$

$$g_t = \frac{2 \cdot T_{bocht} \cdot \sin(\alpha)}{L_B}$$

$$\rightarrow T_{3c} = f \cdot 2 \cdot T_{bocht} \cdot \sin(\alpha) \cdot f_3 = 1,4 \cdot 2 \cdot T_{bocht} \cdot \sin(\alpha) \cdot 0,2$$

5.5 Totalisatie van de trekkkrachten in fase II

Trekkraft T_{tot} tijdens verschillende stadia [N]	T_1 [N]	T_2 / T_{3a} [N]	$T_{3b, neer}$ [N]	$T_{3c, neer}$ [N]	$T_{3b, op}$ [N]	$T_{3c, op}$ [N]	T_{tot} [N]
1 ^e deel intrekken	278	265	-	-	-	-	543
2 ^e deel intrekken	172	882	146	98	-	-	1.298
3 ^e deel intrekken	168	904	146	98	-	-	1.316
4 ^e deel intrekken	87	1.377	146	98	146	143	2.040
Geheel intrekken	0	1.884	146	98	146	143	2.461

$$T_{tot} = T_1 + T_2 + T_{3a} + T_{3b, neer, max} + T_{3c, neer} + T_{3b, op, max} + T_{3c, op}$$

Sterkteberekening van een horizontaal gestuurde boring conform NEN 3650/3651:2012

Sigma 2018 1.5 ©

5.6 Berekening van de optredende spanningen t.g.v. de trekkrachten in fase II

Spanningen σ_t tijdens verschillende stadia [N/mm ²]	T_{tot} [N]	σ_t [N/mm ²]
1 ^e deel intrekken	543	0,26
2 ^e deel intrekken	1.298	0,62
3 ^e deel intrekken	1.316	0,63
4 ^e deel intrekken	2.040	0,97
Geheel intrekken	2.461	1,17

$$\sigma_t = \frac{T_{tot}}{A} = \frac{T_{tot}}{2.104,36}$$

*5.7 Optredende spanningen t.g.v. kromming van de leiding in het boorgat*5.7.1 Neergaande bocht

$$M_b = f_{k,o} \cdot E \cdot \frac{I_b}{f_{r,o} \cdot R}$$

$$M_b = 1,4 \cdot 975 \cdot \frac{2.830.450,99}{0,9 \cdot 33.000} = 130.086,38 \text{ Nmm}$$

$$\sigma_b = \frac{M_b}{W_b}$$

$$\sigma_b = \frac{130.086,38}{51.462,75} = \mathbf{2,53 \text{ N/mm}^2}$$

5.7.2 Opgaande bocht

$$M_b = f_{k,o} \cdot E \cdot \frac{I_b}{0,9 \cdot R}$$

$$M_b = 1,4 \cdot 975 \cdot \frac{2.830.450,99}{0,9 \cdot 33.000} = 130.086,38 \text{ Nmm}$$

$$\sigma_b = \frac{M_b}{W_b}$$

$$\sigma_b = \frac{130.086,38}{51.462,75} = \mathbf{2,53 \text{ N/mm}^2}$$

5.8 Totalisatie van de spanningen in het boorgat tijdens de trekoperatie

Spanningen σ_a tijdens verschillende stadia [N/mm ²]	T_{tot} [N]	σ_t [N/mm ²]	σ_b [N/mm ²]	σ_a [N/mm ²]
Starten met trekken	543	0,26	-	0,26
Na 1 ^e deel intrekken	1.298	0,62	2,53	2,26
Na 2 ^e deel intrekken	1.316	0,63	-	0,63
Na 3 ^e deel intrekken	2.040	0,97	2,53	2,61
Na 4 ^e deel intrekken	2.461	1,17	-	1,17

$$\text{Rechte delen: } \sigma_a = \frac{T_{tot}}{A} = \frac{T_{tot}}{2.104,36} = \sigma_t$$

$$\text{Gebogen delen: } \sigma_a = \alpha_{\sigma} \cdot \sigma_b + \sigma_t = 0,65 \cdot \sigma_b + \sigma_t$$

$$\text{Toelaatbare spanning: } \sigma_{kd} = MRS = \mathbf{10,00 \text{ N/mm}^2}$$

Sterkteberekening van een horizontaal gestuurde boring conform NEN 3650/3651:2012

Sigma 2018 1.5 ©

6. Fase III: Berekening van de optredende spanningen tijdens de gebruiksfase*6.1 Berekening van de spanningen s_p en s_{pl} t.g.v. inwendige druk*

Leiding is drukloos:

$$\sigma_p = 0,00 \text{ N/mm}^2$$

6.2 Berekening reroundingfactor f_{rr}

Leiding is drukloos:

$$f_{rr} = 1,00$$

6.3 Berekening van de neutrale grondbelasting Q_n

Locatie	Dekking t.o.v. maaiveld [m]	G.W.S. t.o.v. maaiveld [m]	Grond- soort	q_{droog} [kN/m ²]	q_{nat} [kN/m ²]	q_{totaal} [kN/m ²]	Q_n [N/mm ¹]
1e rechte deel	2,97	1,00	Zand	19,80	43,34	63,14	4,78
Neergaande bocht	4,36	1,00	Zand	19,80	73,92	93,72	6,61
2e rechte deel	4,36	1,00	Zand	19,80	73,92	93,72	6,61
Opgaande bocht	4,36	1,00	Zand	19,80	73,92	93,72	6,61
3e rechte deel	2,00	1,00	Zand	19,80	22,00	41,80	3,50

$$Q_n = (\gamma \cdot \gamma_d \cdot H_d + \gamma \cdot \gamma_n \cdot H_n - \gamma_w \cdot H_w) \cdot D_o = (1,1 \cdot \gamma_d \cdot H_d + 1,1 \cdot \gamma_n \cdot H_n - \gamma_w \cdot H_w) \cdot D_o$$

6.4 Berekening van de verkeersbelasting Q_v

Locatie	Dekking t.o.v. maaiveld [m]	Verkeers- belasting	q_v [kN/m ²]	Q_v [N/mm ¹]
1e rechte deel	2,97	Grafiek ½ x II	3,85	0,42
Neergaande bocht	4,36	Grafiek I	11,76	1,29
2e rechte deel	4,36	Grafiek I	11,76	1,29
Opgaande bocht	4,36	Grafiek I	11,76	1,29
3e rechte deel	2,00	Grafiek ½ x II	6,56	0,72

$$Q_v = q_v \cdot D_o = q_v \cdot 110$$

6.5 Momenten en spanningen t.g.v. bovenbelastingen

Locatie	Q_n [N/mm ¹]	Q_v [N/mm ¹]	Q_{boven} [N/mm ¹]	M_q [Nmm]	σ_q [N/mm ²]
1e rechte deel	4,78	0,42	5,20	37,16	5,33
Neergaande bocht	6,61	1,29	7,91	56,48	8,10
2e rechte deel	6,61	1,29	7,91	56,48	8,10
Opgaande bocht	6,61	1,29	7,91	56,48	8,10
3e rechte deel	3,50	0,72	4,22	30,15	4,32

$$M_q = K_b \cdot (Q_n + Q_v) \cdot r_g = 0,138 \cdot (Q_n + Q_v) \cdot 51,77$$

$$\sigma_q = f_{rr} \cdot \frac{M_q}{W_w} = 1,00 \cdot \frac{M_q}{6,98}$$

6.6 Optredende spanning s_{qr} tgv. grondreactie in de bochten

6.6.1 Neergaande bocht

$$\sigma_{qr} = K_{b,ind} \cdot Q_{r1} \cdot D_o \cdot \frac{r_u}{W_w}$$

$$\sigma_{qr} = 0,083 \cdot 0,0021 \cdot 110,00 \cdot \frac{55,00}{6,98} = \mathbf{0,15 \text{ N/mm}^2}$$

6.6.2 Opgaande bocht

$$\sigma_{qr} = K_{b,ind} \cdot Q_{r2} \cdot D_o \cdot \frac{r_u}{W_w}$$

$$\sigma_{qr} = 0,083 \cdot 0,0021 \cdot 110,00 \cdot \frac{55,00}{6,98} = \mathbf{0,15 \text{ N/mm}^2}$$

6.7 Berekening van de spanning s_{ax} t.g.v. temperatuurverschil

Leiding is drukloos

$$\sigma_{ax} = \mathbf{0 \text{ N/mm}^2}$$

7. Toetsing op minimale ringstijfheid S_N

$$S_N = E \cdot \frac{I_w}{D_g^3}$$

$$S_N = 975 \cdot \frac{22,57}{103,53^3} = 0,0198 \text{ N/mm}^2 = \mathbf{19,83 \text{ kN/m}^2}$$

Minimaal vereiste ringstijfheid = **2 kN/m²**

8. Toetsing op implosie: berekening van de alzijdige overdruk

Veiligheidsfactor γ voor langdurige onderdruk: $\gamma = 3$

Veiligheidsfactor γ voor kortdurende onderdruk: $\gamma = 1,5$

$$p_o = \frac{1}{\gamma \cdot (1 - \nu^2)} \cdot \frac{24 \cdot E \cdot I_w}{D_g^3}$$

$$p_{o,kort} = \frac{1}{1,5 \cdot (1 - 0,4^2)} \cdot \frac{24 \cdot 975,00 \cdot 22,57}{103,53^3} = 0,38 \text{ N/mm}^2$$

$$p_{o,lang} = \frac{1}{3 \cdot (1 - 0,4^2)} \cdot \frac{24 \cdot 350,00 \cdot 22,57}{103,53^3} = 0,07 \text{ N/mm}^2$$

Conclusie: Kans op implosie bij **6,78 m** grondwater boven de leiding

9. Berekening van het totaal aan optredende spanningen

9.1 Optredende spanningen in omtreksrichting van de leiding

Locatie	σ_q [N/mm ²]	σ_{qr} [N/mm ²]	α_σ [-]	σ_{y2} [N/mm ²]
1e rechte deel	5,33	-	0,65	3,46
Neergaande bocht	8,10	0,15	0,65	5,36
2e rechte deel	8,10	-	0,65	5,26
Opgaande bocht	8,10	0,15	0,65	5,36
3e rechte deel	4,32	-	0,65	2,81

Rechte delen: $\sigma_{y2} = \alpha_\sigma \cdot \sigma_q$

Bochten: $\sigma_{y2} = \alpha_\sigma \cdot (\sigma_q + \sigma_{qr})$

Toelaatbare spanning: $\sigma_{td} = \bar{\sigma}_t = \mathbf{8,00 \text{ N/mm}^2}$

9.2 Optredende spanningen in langsrichting van de leiding

Locatie	σ_{pl} [N/mm ²]	σ_{ax} [N/mm ²]	σ_b [N/mm ²]	α_{σ} [-]	σ_x [N/mm ²]
1e rechte deel	0,00	0,00	-	-	0,00
Neergaande bocht	0,00	0,00	2,53	0,65	1,64
2e rechte deel	0,00	0,00	-	-	0,00
Opgaande bocht	0,00	0,00	2,53	0,65	1,64
3e rechte deel	0,00	0,00	-	-	0,00

Rechte delen: $\sigma_x = \sigma_{ax}$ Bochten: $\sigma_x = \sigma_{ax} + \alpha_{\sigma} \cdot \sigma_b$ Toelaatbare spanning: $\sigma_{ld} = \bar{\sigma}_t = \mathbf{8,00}$ N/mm²

10. Berekening van de optredende en toelaatbare deflectie

Locatie	Q_n [N/mm ¹]	Q_v [N/mm ¹]	Q_r [N/mm ²]	δ_Y [mm]	δ_Y/D_g [%]
1e rechte deel	4,78	0,42	-	4,62	4,46
Neergaande bocht	6,61	1,29	0,0021	7,03	6,79
2e rechte deel	6,61	1,29	-	7,02	6,79
Opgaande bocht	6,61	1,29	0,0021	7,03	6,79
3e rechte deel	3,50	0,72	-	3,75	3,62

$$\delta_Y = \frac{(0,089 \cdot Q - 0,083 \cdot Q_{n,h} + 0,048 \cdot Q_r) \cdot r_g^3}{E' \cdot I_w}$$

$$\delta_Y = \frac{(0,089 \cdot (Q_n + Q_v) - 0,083 \cdot (1 - \sin \varphi) \cdot (Q_n + Q_v) + 0,048 \cdot Q_r) \cdot 51,77^3}{350 \cdot 22,57}$$

Toelaatbare deflectie = $8\% \cdot D_g = 0,08 \cdot 103,53 = \mathbf{8,28}$ mm

11. Berekening van de boorspoeldrukken tijdens de trekfase

Locatie	H [m]	σ_{vert} [kN/m ²]	σ_{hor} [kN/m ²]	σ_o' [kN/m ²]	p_f' [kN/m ²]	G [MN/m ²]
1e rechte deel	2,97	32,48	15,03	23,76	36,52	0,77
Neergaande bocht	4,36	43,85	20,29	32,07	49,31	0,77
2e rechte deel	4,36	43,85	20,29	32,07	49,31	0,77
Opgaande bocht	4,36	43,85	20,29	32,07	49,31	0,77
3e rechte deel	2,00	24,55	11,36	17,95	27,60	0,77

$$\sigma_{vert} = \frac{\gamma_d}{\gamma} \cdot H_d + \frac{\gamma_n}{\gamma} \cdot H_n - \gamma_w \cdot H_w$$

$$\sigma_{hor} = \sigma_{vert} \cdot (1 - \sin(\varphi))$$

$$\sigma_o' = \frac{\sigma_{vert} + \sigma_{hor}}{2}$$

$$p_f' = \sigma_o' \cdot (1 + \sin(\varphi)) + c \cdot \cos(\varphi)$$

$$G = \frac{E_{100}}{2 \cdot (1 + \nu)}$$

Locatie	Q [-]	$R_{p,max}$ [m]	u [N/mm ²]	p_{st} [N/mm ²]	Δ_p [N/mm ²]	p_{lim} [N/mm ²]
1e rechte deel	0,017	0,20	0,0197	0,02222	0,01	0,17
Neergaande bocht	0,022	0,17	0,0336	0,03791	0,01	0,22
2e rechte deel	0,022	0,17	0,0336	0,03791	0,01	0,22
Opgaande bocht	0,022	0,17	0,0336	0,03791	0,01	0,22
3e rechte deel	0,013	0,23	0,0100	0,01128	0,02	0,14

$$Q = \frac{\sigma_o' \cdot \sin(\varphi) + c \cdot \cos(\varphi)}{G}$$

$$R_{p,max} = \frac{H}{2}, R_{p,max,zand} = \sqrt{\frac{R_o^2}{Q} \cdot 2 \cdot \varepsilon_{g,max}} \text{ of } \frac{H}{2}$$

$$u = \gamma_w \cdot H_n$$

$$p_{st} = \rho_m \cdot g \cdot h_z$$

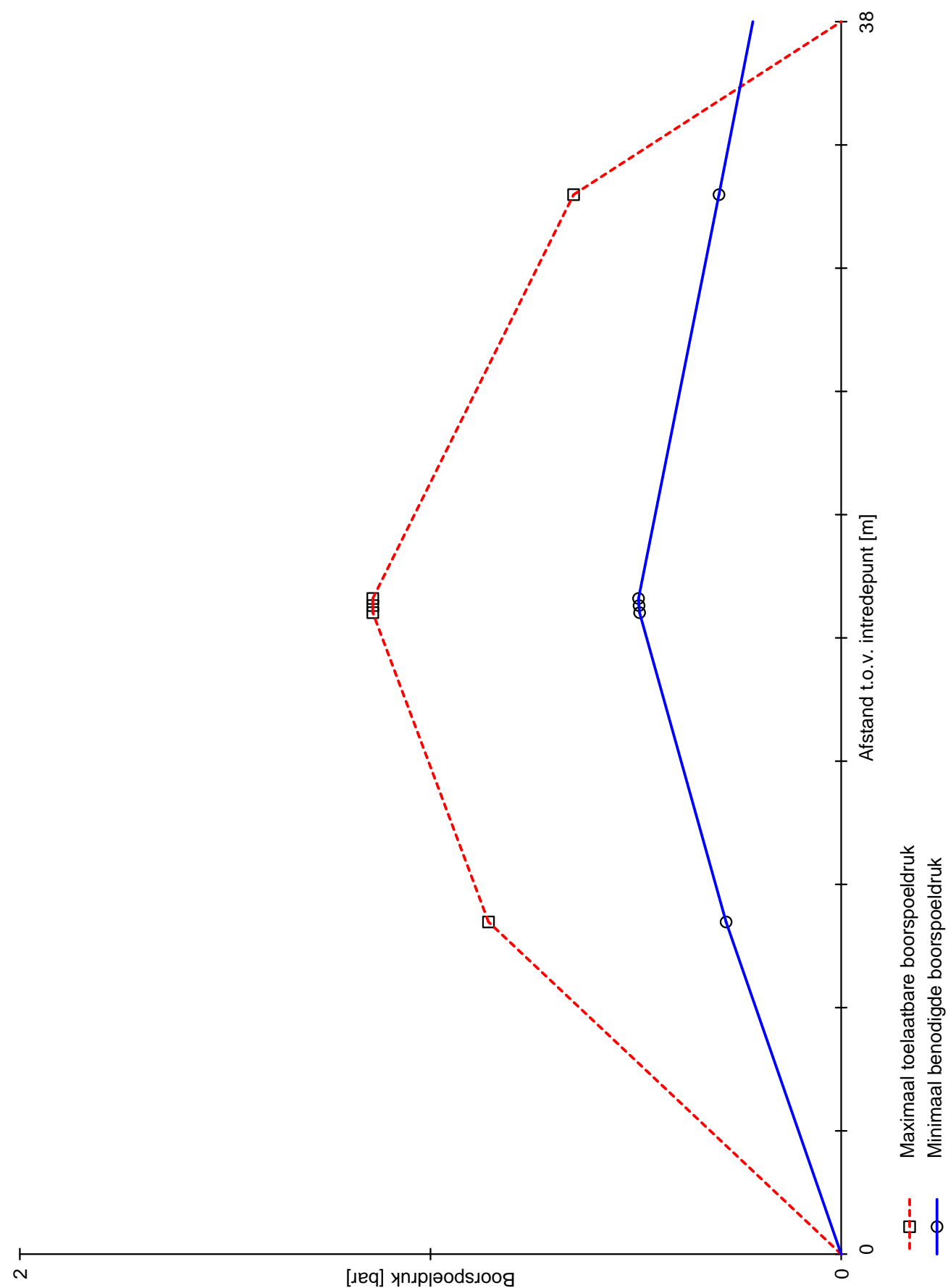
$$\Delta_p = 4 \cdot \frac{\tau_y}{D_g - D_b} \cdot L$$

$$p_{lim} = (p_f' + c \cdot \cot(\varphi)) \cdot Q^{\frac{-\sin \varphi}{1 + \sin \varphi}} - c \cdot \cot(\varphi) + u$$

Locatie	p_{max} [kPa]	90% p_{lim} [kPa]	p_{min} [kPa]	p_{max} [bar]	90% p_{lim} [bar]	p_{min} [bar]
1e rechte deel	85,88	155,43	28,02	0,86	1,55	0,28
Neergaande bocht	114,05	197,63	49,09	1,14	1,98	0,49
2e rechte deel	114,05	197,63	49,22	1,14	1,98	0,49
Opgaande bocht	114,05	197,63	49,34	1,14	1,98	0,49
3e rechte deel	65,15	123,76	29,76	0,65	1,24	0,30

$$p_{max} = (p_f' + c \cdot \cot(\varphi)) \cdot \left(\frac{R_o^2}{R_{p,max}} + Q \right)^{\frac{-\sin \varphi}{1 + \sin \varphi}} - c \cdot \cot(\varphi) + u$$

$$p_{min} = p_{st} + \Delta_p$$





Bijlage 5

Certificaat bentoniet

TUNNEL-GEL™ PLUS



THE *Original* DRILLING FLUIDS COMPANY.

Viscosifier/Gellant

Beschrijving:	TUNNEL-GEL™ PLUS is speciaal geformuleerd voor gebruik in doorpersingen en horizontaal gestuurd boren. TUNNEL-GEL™ PLUS geeft de boorvloeistof viscositeit om het transport van boorgruis te bevorderen, zorgt er voor dat vaste delen gemakkelijk te verwijderen zijn in de scheidings installatie en geeft stabiliteit aan het boorgat door een goed filtraatwater verlies (FL). TUNNEL-GEL™ PLUS is zonder probleem in combinatie met andere BAROID producten te gebruiken.
Toepassing/Functies:	<ul style="list-style-type: none">- Geeft viscositeit aan de boorspoeling.- Heeft draagkracht voor het transport van boorgruis.- Reduceert water indringing in de waterdoorlatende formatie..- Bevordert boorgat stabiliteit in moeilijk te boren formaties.
Voordelen:	<ul style="list-style-type: none">- Goede transport capaciteit van boorgruis tijdens het boren.- Goed draagvermogen tijdens stilstand.- Gemakkelijk te mengen en bereikt snel de maximale viscositeit- Niet giftig en fermenteert niet.
Typische eigenschappen:	Geel poeder Dichtheid 2600 kg/m ³ pH in 3% suspensie ≈ 10
Aanbevolen gebruik:	Voeg langzaam toe door een hopper of strooi het in de vortex van een hoge snelheids mixer. Gebruik in normale condities: 25 – 35 kg/m ³ leidingwater. Gebruik in moeilijke of grind condities: 35 – 40 kg/m ³ leidingwater. Als het aanmaakwater een lage pH /of een hoge hardheid heeft, voeg dan 1 kg SODA ASH per m ³ aan het water toe, daarna TUNNEL-GEL™ PLUS TUNNEL-GEL™ PLUS is verpakt in 25 kg meervoudige, special gecoate zakken en in 1.000 kg big-bags.
Verpakking:	
Beschikbaarheid:	TUNNEL-GEL™ PLUS wordt geleverd door onze distributeurs.

Voor zover wij kunnen beoordelen, is bovengenoemde informatie correct.
Wij kunnen u echter geen garanties geven over de resultaten die u hiermee zult bereiken. Deze beschrijving wordt u aangeboden op voorwaarde dat u zelf bepaalt in hoeverre zij geschikt is voor uw doeleinden.



- Horizontaal gestuurde boringen (HDD)
- Pilot gestuurde avegaarboringen
- Pipe bursting
- Persboringen
- Dämmer specialisme



Bijlage 6

Boorstaat (Registratieformulier boorgegevens)

Opdrachtgever				holland drilling				
Projectnr.								
Uitvoeringsdatum								
Plaats								
Adres								
Boormeester		Boormachine (ton)		2,5 / 5 / 8 / 9 / 16 / 18 / 30				
Testen kalibreren		Ja / Nee		Surveyor (CV)				
Klic aanwezig		Ja / Nee		Machinist				
Tekening aanwezig		Ja / Nee		Boringnr.				
Buis geleverd		Ja / Nee		Boorlengte		meter		
Pilotboring		Ja / Nee		Diameter buis		Ø SDR		
Spoeling afgevoerd		Opdr.gever / Loonw. / HD		Lengte geleverde buis		meter		
Zelf grondwerk		Ja / Nee		Haspel nummer				
Zelf digitaal ingemeten		Ja / Nee		Restant lengte op haspel				
Schets getekend		Ja / Nee		Hoeveelheid spoeling		m³		
				Aantal uren grondwerk		uur		
Stang	Diepte	Pitch	Duwkr. (kN)	Trekk. (kN)	Rotatie (rpm)	Pomp (l/min)	Pomppdr. (bar)	Opdracht / bijzonderheden
1								
2								
3								
4								
5								
6								
7								
8								
9								
10								
11								
12								
13								
14								
15								
16								
17								
18								
19								
20								
21								
22								
23								
24								
25								
26								
27								
28								
29								
30								
Aldus ingevuld door uitvoerende					Voor akkoord opdrachtgever			
Naam boormeester					Naam uitvoerder			
Handtekening					Handtekening			

HD-P30 02 F

Boorstaat Gestuurd boren

Versie 01



Bijlage 7

Afwijkingen Richtlijn Boortechnieken DWW 2004

Afwijkingen

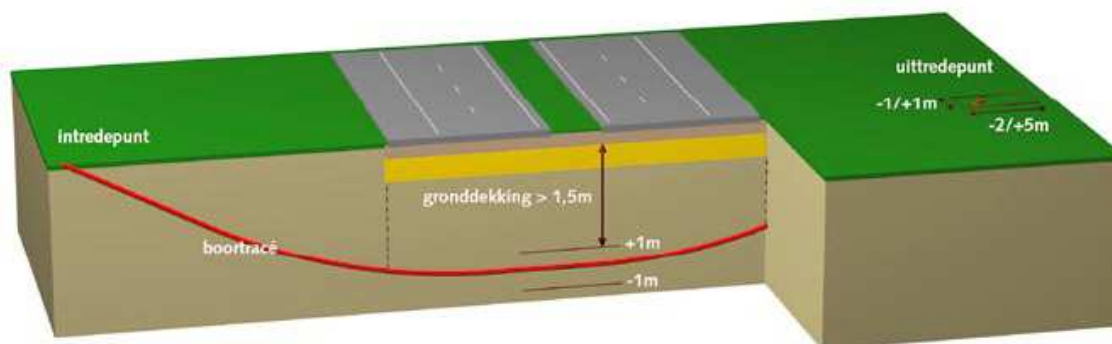
- 1 In overleg met de belanghebbenden dienen voor aanvang van de werkzaamheden de afwijkingstoleranties te worden vastgesteld. Afwijkingen groter dan genoemd onder punt 2 zijn slechts toegestaan na zorgvuldige analyse van de mogelijkheden. De afwijkingstolerantie is afhankelijk van de functie van de te boren productleiding en de gronddekkingseisen.
- 2 In de lengte- en breedterichting en de diepteligging van de hartlijn van de leiding mag geen afwijking groter dan de in tabel 1 genoemde waarden optreden.

RICHTING	MAXIMALE AFWIJKING*
Verticaal	+1/-1 m
Horizontaal:	
- in lengterichting; t.p.v. uittredepunt	+5/-2 m
- in dwarsrichting; t.p.v. uittredepunt	+1/-1 m
- in dwarsrichting; tracé tussen in- en uittredepunt	+5/-5 m

* De minimale gronddekking dient te allen tijde gewaarborgd te blijven.

Tabel 1 maximale toegestane afwijking van theoretische lijn van de boring

De in tabel 1 weergegeven maximale toegestane afwijkingen van de theoretische lijn van de boring zijn schematisch weergegeven in figuur 3. Ten aanzien van de maximaal toegestane afwijkingen kunnen strengere eisen dan genoemd in tabel 1 worden gesteld wanneer dit voor lokale situaties gewenst is. Een en ander dient door de vergunningverlener te worden bepaald en aan de vergunningaanvrager te worden bekend gemaakt.



Figuur 3 illustratie van maximaal toegestane afwijkingen van de theoretische lijn van het boorplan, conform tabel 1



Bijlage 8

Drill Control Rapportage ontwerp boring B01

---Algemeen---

Ontwerpdatum: 6/5/2019
Drill Control Versie: 6.6.2603

---Ontwerp parameters---

Topografische situatie aanwezig
Horizontaal ontwerp: Volgens Lengteprofiel
Verticaal ontwerp: 2 Controlepunt(en)
Intrede
Diepte Intredepunt t.o.v. Maaiveld = 0 meter
Hoek = -16.7 graden (-30%)
Minimale Lengte: 0
Neergaande Bocht
Verticale radius = 33 meter
Middelste Rechte
Hoek = 0 graden (0%)
Minimale Lengte: 0 meter
Opgaande Bocht
Verticale radius = 33 meter
Uittrede
Diepte Uittredepunt t.o.v. Maaiveld = 0 meter
Hoek = 21.8 graden (40%)
Minimale Lengte: 0 meter
Minimale boorradius = 32.9 meter

---Lengtes---

Totale lengte boorlijn = 38.32 meter
Neergaande rechte = 10.33 meter
Neergaande bocht = 9.62 meter
Middelste rechte = 0.44 meter
Opgaande bocht = 12.56 meter
Opgaande rechte = 5.38 meter

---Maximale gronddekking---

Neergaande rechte = 2.97 meter
Neergaande bocht = 4.36 meter
Middelste rechte = 4.36 meter
Opgaande bocht = 4.36 meter
Opgaande rechte = 2 meter

---Radius informatie---

Boring ontwerp bevat GEEN gecombineerde radii
Kleinste gemeten Radius = 33 meter

---Coördinaten boorlijn---

	X	Y	Z
ITP	194615.61	414191.96	13.50
Tv1	194622.90	414198.65	10.53
Tv2	194629.88	414205.06	9.14
Tv3	194630.20	414205.35	9.14
Tv4	194639.23	414213.64	11.50
UTP	194642.91	414217.02	13.50